

1. まえがき

筆者は先の研究¹⁾²⁾において、河川蛇行の発生範囲についての研究を行つて来た。その結果、交差砂堆の発生条件は Froude 数が 1 より大きい場合には不下博士によつて得られた結果に沿うと思われる結果が得られていながら、Froude 数が 1 より小さくなるにつれて、実験結果を説明するためには理論から得られる発生範囲が余りにもすぎないと思われるようになつて判つた。この点につけての理論的改良試みたのが前報³⁾であるが、今からみると、この理論的基本假定の中に余りにも推定的な箇所があり、不適当ではなかつたと思われる。

筆者のこれら諸研究においてはいすれも、理論の骨組を形成するものは 3 次元ポテンシャル流理論であるが、このような理論的には单纯な流れをあつても、この水流と流砂量との間にあつて bi-lateral な相互関係の中には河床波が不安定である原因があると考えて、この相互関係などのような関係式をつづくれば表わすことができるかといふ点はひづら研究の焦臭を経つた。本報においてもその立場は同じであるが、従来よりも適當であると思われる新しい理論モデルに基いて考察を行ふ。

2. 理論の基本式

以下に記載する 2-a は内容的に従来の理論と同じものであるので摘要のみを記す。2-b が基本式として新しい部分である。

2-a. 水流の基本式

河床面に図-1 のような 3 次元正弦波的な擾乱がある。

$$\text{すなはち } \eta(x, z, t) = a(t) \sin \beta z (x - U_b t) \cos \ell z \quad (1)$$

ここで、 a : 河床波の振幅、 β : 河床波の右側の波数、

U_b : 河床波の移動速度、 ℓ : 河床波の左側の波数で $\ell = \pi/B$ 、

B : 水路幅、 z : 水路の深さ。この河床波のためには水面は直線的波形は次のとおりである。

$$y = \eta(x, z, t) = A(t) \sin \beta z (x - U_b t) \cos \ell z \quad \dots \dots \dots \quad (2)$$

3 次元ポテンシャル流を仮定し、 ϕ を速度ポテンシャルとする。流れに対する境界条件は次のとおりである。 $y=0$: $\phi_x + U\phi_z = \phi_y$ $\dots \dots \dots \quad (3)$

$$y=0: \phi_t + g\phi_z + \frac{1}{2}(\phi_x^2 + \phi_y^2 + \phi_z^2) = \text{const.} \quad \dots \dots \dots \quad (4)$$

$$y=-d: \eta_t + U\eta_x = \phi_y \quad \dots \dots \dots \quad (5)$$

この境界条件のもとで、 $A \ll a$ かつ $U \ll U_b$ かつ $U_b \ll U$ と仮定して、Laplace の方程式とすると、 $\phi = Ux - \frac{U\beta}{\beta} a \frac{\cosh \beta y + (F^2 R^2 d/\beta) \sinh \beta y}{\sinh \beta d - (F^2 R^2 d/\beta) \cosh \beta d} \cos \beta (x - U_b t) \cdot \cos \ell z \quad (6)$

$$z \ll 1, \beta = \sqrt{R^2 + \ell^2}, F = U/\sqrt{gd}: \text{Froude 数}, z \ll 1.$$

このようにして流れのポテンシャルが判る、これから次の 2 つの関係式が得られる。

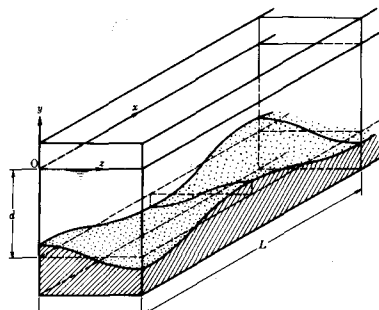


図-1.

$$\frac{A(t)}{a(t)} = -\frac{F^2 R^2 d / \beta}{[\tanh \beta d - (F^2 R^2 d / \beta)] \cosh \beta d} \quad \dots (7) \quad \frac{dz}{dx} = \frac{\beta L}{\beta} \alpha \frac{1 - (F^2 R^2 d / \beta) \tanh \beta d}{\tanh \beta d - (F^2 R^2 d / \beta)} \cdot \cos \beta (x - U_b t) \sinh \beta z \quad \dots (8)$$

ここで、 dz/dx は河床面 ($y = -d$) 上における流線の方向、また、 F_a および F_2 はそれぞれ次の値の Froude 数である。

$$F_a^2 = \frac{\beta d \tanh \beta d}{(R d)^2} \quad \dots (9)$$

$$F_2^2 = \frac{\beta d \coth \beta d}{(R d)^2} \quad \dots (10)$$

図-2. は $F < F_a$ の場合
すなはち常流の場合の自由水面、
河床面および河床面流線表示し
たものであり、図-3. は
 $F_a < F < F_2$ の場合、すなは
ち、射流ではあるが $F < F_2$
の場合、のそれらを示したもの
である。3 次元正弦表面波の波
速 c は

$$c^2 = \frac{g \beta}{R^2} \tanh \beta d$$

で与えられるから、 F_a は3次
元正弦波の算出元波速に相当。

2・b. 水流と流砂量との bi-lateral な相関関係

通常の流砂量公式の多くは、
流砂量 G の大きさは局所流速
 u の大きさの約 2 倍である、
すなはち、

$$G(x, z, t) = f[u(x, z, t)] \quad \dots (11)$$

となる。しかし、このよ
うな水流から流砂量への一般的
な (uni-lateral な) 形
式前述した関係式とは、全く
は河床の不安定性を説明する
ことはない。そこで、前報ま

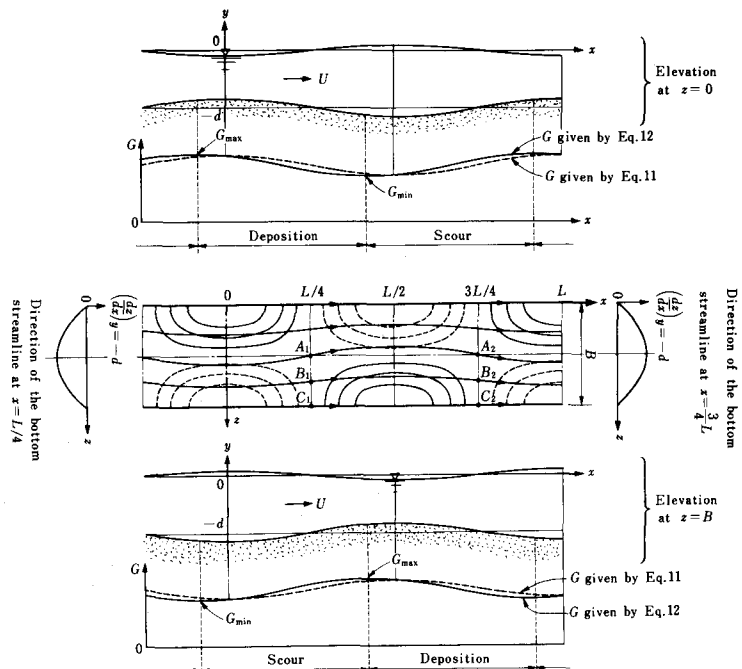


図-2. 常流の場合

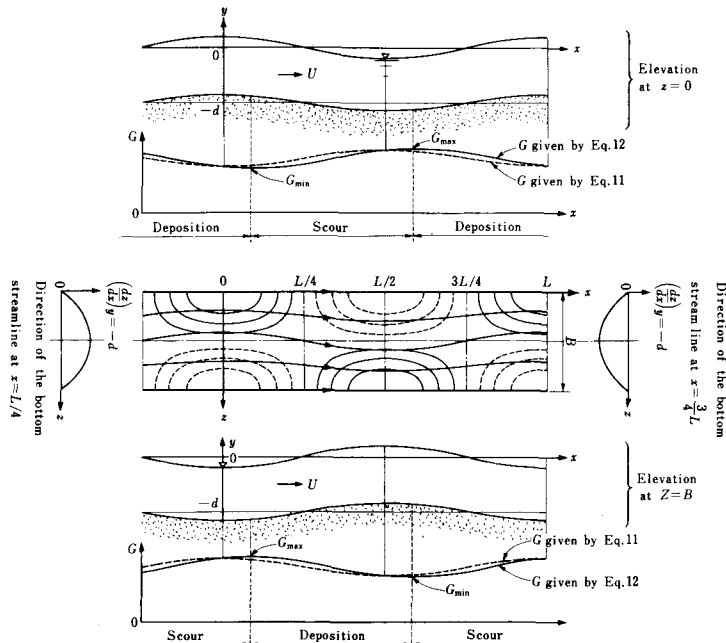


図-3. 射流の場合。但し $F < F_2$

ではあることは筆者も

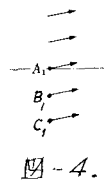
$$G(x, z, t) = (1 + \alpha \partial \eta / \partial s) \cdot f[u(x, z, t)] \quad \dots \dots \dots \dots \dots \quad (12)$$

この関係式はより水流と流砂量との関係を *bi-lateral* 化してさす。この $\partial \eta / \partial s$ は河床波の局所形勾配であり、 α は無次元の係数である。河床の不安定性に対する主原因である流砂量の“非対称性”が、この $\alpha \partial \eta / \partial s$ の項の導入により式の中表現されたものである。

しかし、新規を追加すると、2次元砂堆 (dunes) のような波長が比較的短いものの場合は波形勾配の影響はあまり大きいものと推定されるが、蛇行動堆のように波長が長い場合には、波形勾配の影響はかなり小さいものではなくとも考えられるから、流砂量の“非対称性”と (12) の形で表せし続けることが適当であるかどうか新規は議論となつてくる。そこで、流砂量の“非対称性”を説明すべく出発点の (11) を立候、2、新しく次のようになる。

図-2. の B_1 岩と B_2 岩における各流砂量の大きさを比較すると、従来の (11) では両者は等しくなる筈であるが、実際には B_2 岩は砂堆の底面と左右部分からのから B_2 岩の流砂量は (11) で与えられたものよりも小さく、逆に B_1 岩の流砂量は (11) で与えられたものよりもいくらか大きいものと見えてくる。しかし、もし B_1 岩附近の流線の右側が未路地右側へ値で \rightarrow
 2を、図-4. のように左側が平行であれば B_1 岩の流砂量は (11) で与えられたものと等しくなると想る。このことから、(11) の補正は関係するものは流線の右側 dZ/dx ではなくて、右側変化の割合 $\frac{\partial}{\partial Z} (dZ/dx)$ で与えられる。

図-2. および図-3. の中では $x = L/4$ および $x = 3L/4$ における $\frac{\partial}{\partial Z} (dZ/dx)$ の値が記してある。このようして (11) を補正し、それまでの (12) を代入するところまで、2、12次式で答える。



$$G(x, z, t) = m \cdot \left[1 + \alpha B \left\{ \frac{\partial}{\partial Z} \frac{dZ(x-\delta)}{dx} \right\}_{y=-d} \right] \left[u(x-\delta, z, t) \right]^n \quad \dots \quad (13)$$

ただし、 α ：無次元係数、 δ ：局所流砂量が局所掃流力より遅れる距離、 n ：無次元定数、 m ：次元定数、である。(13) では、図-2. の C_1, C_2 両巻を通る流線は直線であるが、 C_1 岩の流砂量は C_2 岩のそれより大きくなり、また、 A_1, A_2 の両巻を通る流線は“自由”で平行しており、両巻における流砂量は等しくなると事が解る。

図-2. および図-3. の中では (13) で $\delta = 0$ の場合の G の x 方向分布曲線が対称的な形となる。 $z = 0$ における B の断面における河床変化を前述する式で近似的に

$\eta_t + G_x = 0$ とおけば、 $G_x > 0$ の浅瀬、 $G_x < 0$ の堆積が現る。その結果、図示のように河床変化は堆積が、河床波浪は浅瀬が現り、振巾は増大して $z = 0$ が浅瀬となる。

定量的に取扱うためには、河床変動の方程式は $\eta_t + (G_1)_x + (G_3)_z = 0 \quad \dots \quad (14)$

である。 G_1, G_3 : 主流と川筋流砂量 G の x 方向および z 方向の風分である、

$$G_1 \equiv G, \quad G_3 = G \cdot (dZ/dx)_{y=-d} \quad \dots \dots \dots \dots \dots \quad (15)$$

(13) と (8) と (15) を代入し、その (15) と (14) を代入する z ,

$$\frac{\partial \eta}{\partial t} + \bar{G} \left[\alpha B \frac{\partial^2}{\partial Z \partial x} \frac{dZ(x-\delta)}{dx} + \frac{n}{U} \frac{\partial^2 \bar{\phi}(x-\delta, -d, z, t)}{\partial x^2} + \frac{\partial}{\partial Z} \frac{dZ}{dx} \right] = 0 \quad \dots \quad (16)$$

ここで、 $\bar{G} = mU^n$, $\bar{\phi} = \phi - UX$ である。さうして (1), (6), (8) は上式で代入し上式を解くと、その解として次式がうる。

$$a(t) = a(0) \exp \left[\bar{G} (\ell^2 / \beta) f_b (\alpha B \ell^2 - n \ell^2 \delta) t \right] \quad \dots \dots \dots \dots \dots \dots \quad (17)$$

$$h \approx l, \quad f_b = \frac{1 - (F^2 R^2 d / \beta) \tanh \beta d}{\tanh \beta d - (F^2 R^2 d / \beta)} = \tanh \beta d \frac{F_2^2 - F^2}{F_a^2 - F^2} \quad \dots \quad (19)$$

(17) から河床波の安定限界は次式で与えらる。ことがわかる。

$$f_b = 0 \quad \dots \quad (20), \quad \alpha B \ell^2 - n k^2 \delta = 0 \quad \dots \quad (21), \quad (f_b \circ \text{分母}) = 0 \quad \dots \quad (22)$$

(20) と (22) をみる, $F = F_2$ および $F = F_a$ のとき (21) は

$\frac{F^2}{l^2} = \alpha B l^2 / n \delta \quad \dots \quad (21 \cdot a)$ となるが、この式によより左の値を知る時は右の値

正規の状態ではない。距離 δ は U の倒数の T と Z とは自然で $\delta \propto Z$ なら、 $\delta = \text{const. } U^{-1/2}$ と仮定する。 $Z^{1/2}$, const. は T の次元を持つ Z の $1/2$ の Z の 2 と 3

係數之值。 (23) 設 (21-a) 代入可得， $k^2 = (\alpha\pi/n\varepsilon)(B/U)\sqrt{g/d}$ 為得，

う。πの $C = 2\sqrt{n\varepsilon/\alpha}$ である。
 あくまで α の値は未判明のもので、 C の値は
 理論的ではなく不明である。222 Simons 等の
 実験⁴⁾ と比較して $C \approx 72$ となる。図-5
 は $d/B = 0.08$ の場合の安定域を示したもの
 である。

3. 蛇行波長

(17) から河床波の初期増幅率は次式²を与える。

$$\dot{a}(0) = a(0) \bar{F} (\kappa^2/\beta) f_b(\alpha/d) (c/2)^2 (\kappa d)^2 (F_1 - F)$$

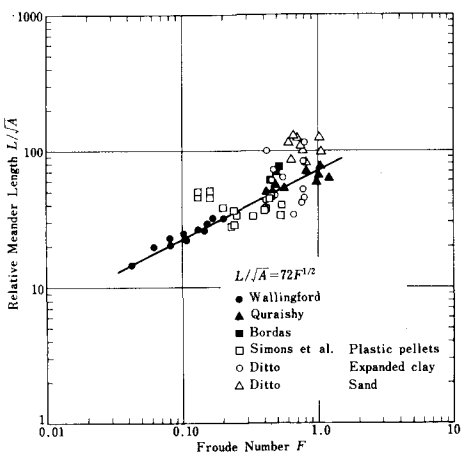
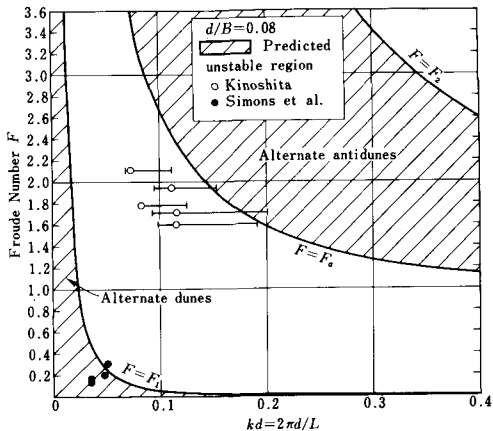


图-6.

4. 文獻 1) 林・川上：第13回水理講，昭44，2) 林：土木学会論文集 1970年8月，3) 林：第16回水理講，1972年2月，4) Chang, Simons, Woolhiser, WW Div., ASCE, 1971, Feb.



- - (26)

图 - 5.

明らかに、 $\dot{a}(0) = \max$ となるものが真鍮波長
となる。 $\zeta = 3.2^{\circ}$ の $\dot{a}(0)$ は $F = F_a + 0.2^{\circ} \infty$ と
から、平行反射波の真鍮波長は $F = F_a$ 、すな
わち、 $F^2 = (\beta d + \tan \zeta \beta d) / (\kappa d)^2 \cdots (27)$
である。

一方、蛇行砂堆の発生領域内での $\partial \dot{a}(0)/\partial (Rd) = 0$ の解を求めたものの下図に示すが、その解は $Rd \approx 1.7$ で explicit 形で $\dot{a}(0) \approx 1.5$ 因縁である。したがって $\dot{a}(0)$ は $(Rd)^4$ でもつから近似的には $\dot{a}(0)$ の max. は 発生領域内の右端で 現れると えどよみ。したがって 周期波長は $F = F_1 \approx 5.2$ である。したがって $L/\sqrt{Bd} = C F^{1/2} \dots (28)$ となる。